

УДК 535.03:519.06

ВЛИЯНИЕ ГЕОМЕТРИИ ПЛАНАРНОГО ВОЛНОВОДА НА ФОРМИРОВАНИЕ ОПТИЧЕСКИХ ПУЛЬ

© 2019 г. С. В. Сазонов^{1,2,*}, А. А. Калинович¹, Б. Д. Соболев¹,
М. В. Комиссарова¹, И. Г. Захарова¹

¹Федеральное государственное бюджетное образовательное учреждение высшего образования
“Московский государственный университет имени М.В. Ломоносова”, Москва, Россия

²Национальный исследовательский центр “Курчатовский институт”, Москва, Россия

*E-mail: sazonov.sergey@gmail.com

Исследуется формирование оптических пуль при распространении световых пучков-импульсов в планарном волноводе с квадратичной нелинейностью. Рассмотрены случаи неограниченного волновода с квадратичным профилем изменения показателя преломления и волновода с насыщением.

DOI: 10.1134/S0367676519010228

ВВЕДЕНИЕ

Двух- и трехкомпонентные солитоны в среде с квадратичной нелинейностью исследуются с 1974 года, когда впервые была продемонстрирована возможность их существования [1]. Первые работы касались случаев $(1 + 1)D$. Притягательность многокомпонентных многомерных солитонов при квадратичной нелинейности связана с их устойчивостью и более низким порогом возбуждения по сравнению с солитонами при кубической нелинейности [2].

Устойчивость световых пучков при квадратичной нелинейности исследовалась либо аналитически с помощью вариационного подхода, либо численно [3, 4]. Показана устойчивость пространственно-временных солитонов при условии, что импульсы на основной и второй гармониках распространяются в режиме аномальной дисперсии. Недавно мы разработали подробную теорию “дышащих” световых пуль, распространяющихся в среде с аномальной дисперсией [5, 6].

Чтобы создать полностью локализованные волны в режиме нормальной дисперсии, необходимо компенсировать как линейные эффекты дифракции, так и дисперсию и нелинейный эффект. Хорошо известна замечательная способность волноводов поддерживать устойчивые солитонные структуры [3]. Геометрия волновода может играть фокусирующую или дефокусирующую роль и конкурировать с тенденциями растяжения.

В настоящей работе мы анализируем возможность образования и устойчивого распространения световых пуль в плоском волноводе с квадратичной нелинейностью. Значительное внимание

уделяется режиму нормальной дисперсии на обеих частотах, соответствующих видимому частотному диапазону излучения.

Как известно, распространение оптического импульса-пучка в среде с кубической нелинейностью может сопровождаться пространственно-временным коллапсом, характер которого зависит от входных параметров. Одним из примеров нелинейного механизма, который может остановить коллапс и способствовать генерации устойчивых пространственно-временных солитонов, так называемых световых пуль, является использование среды с насыщающей нелинейностью [1].

По сравнению с солитонами на кубической нелинейности многомерные солитоны на квадратичной нелинейности характеризуются гораздо более высокой устойчивостью и низким порогом генерации. Основные ограничения на возможность формирования оптических пуль в однородной среде связаны с видом дисперсии, от которого зависит, является ли среда фокусирующей или дефокусирующей.

В [2] было показано, что при переходе к волноводной геометрии, помимо конкуренции между нелинейностью, дисперсией и дифракцией, важную роль начинают играть фокусирующие свойства волновода. Для волновода с параболическим профилем показателя преломления приближенное аналитическое решение в виде двухкомпонентной оптической пули было получено как для случая аномальной, так и для случая нормальной дисперсии. Однако, поскольку параболическая функция асимптотически неограниченно возрастает, данное решение применимо для случая узких пучков. Реальные волноводы создают силь-

ное изменение показателя преломления в центре, на периферии показатель волновода существенно не меняется. В случае, когда размер пучка сопоставим с размером волновода, этот факт необходимо учитывать.

ПОСТАНОВКА ЗАДАЧИ

В настоящей работе в геометрию волновода с квадратичной нелинейностью вводится насыщение, при котором вблизи центра волновода поперечный профиль показателя преломления остается параболическим, а на периферии выходит на константу. Этот случай лучше соответствует реальным ситуациям, нежели параболический профиль. Импульсный режим генерации второй гармоники в таком волноводе при совместном влиянии дифракции и дисперсии описывается следующей системой уравнений для комплексных амплитуд основной частоты ψ_1 и второй гармоники ψ_2 :

$$i \left[\frac{\partial \psi_1}{\partial z} + \left(\epsilon_1 \alpha_1 \frac{x^2}{1 + x^2/a_1^2} + \delta \right) \frac{\partial \psi_1}{\partial \tau} \right] + \frac{\beta_2^{(1)}}{2} \frac{\partial^2 \psi_1}{\partial \tau^2} - \gamma_1 \psi_1^* \psi_2 e^{i\Delta k z} = \epsilon_1 q_1 \frac{x^2}{1 + x^2/a_1^2} \psi_1 + \frac{c}{2n_1 \omega} \frac{\partial^2 \psi_1}{\partial x^2}, \quad (1)$$

$$i \left[\frac{\partial \psi_2}{\partial z} + \left(\epsilon_2 \alpha_2 \frac{x^2}{1 + x^2/a_2^2} - \delta \right) \frac{\partial \psi_2}{\partial \tau} \right] + \frac{\beta_2^{(2)}}{2} \frac{\partial^2 \psi_2}{\partial \tau^2} - \gamma_2 \psi_1^2 e^{-i\Delta k z} = 2\epsilon_2 q_2 \frac{x^2}{1 + x^2/a_2^2} \psi_2 + \frac{c}{4n_2 \omega} \frac{\partial^2 \psi_2}{\partial x^2}. \quad (2)$$

Здесь $n_{1,2}$ – показатели преломления на первой и второй гармониках в центре волновода; $\beta_2^{(1,2)}$ – коэффициенты дисперсии групповой скорости (ДГС), зависящие от показателя преломления $n_{1,2}(\omega)$; $\tau = t - \frac{1}{2} \left(\frac{1}{v_{g1}} + \frac{1}{v_{g2}} \right) z$; $\gamma_1 = \frac{4\pi\omega}{cn_1} \chi_2(-\omega, 2\omega)$ и $\gamma_2 = \frac{4\pi\omega}{cn_2} \chi_2(\omega, \omega)$ – коэффициенты квадратичной нелинейности, пропорциональные восприимчивости второго порядка; $\Delta k = 2\omega(n_1 - n_2)/c$ – фазовая расстройка; c – скорость света в вакууме; ω – несущая частота основной гармоники; $\delta = \frac{1}{2} \left(\frac{1}{v_{g1}} - \frac{1}{v_{g2}} \right)$ – расстройка групповых скоростей. Коэффициенты $\alpha_{1,2} = \frac{n_{1,2}^2 - 1}{2cn_{1,2}}$ и $q_{1,2} = \omega\alpha_{1,2}$ отвечают за свойства волновода; $a_{1,2}$ – характерные размеры неоднородности волновода, $\epsilon_{1,2} = +1$ соответствует дефокусирующему волноводу, а $\epsilon_{1,2} = -1$ – фокусирующему.

Ниже считаем, что, вообще говоря, характерные размеры поперечной неоднородности волновода a_1 и a_2 различны для основной частоты и второй гармоники. Рассмотрим случай равенства фазовых и групповых скоростей $\Delta k = 0$, $n_1 = n_2 = n$, $\delta = 0$, $v_1 = v_2 = v$, $\tau = t - z/v$. Дисперсионные коэффициенты будем считать связанными соотношением $\beta_2^{(2)} = 2\beta_2^{(1)}$. Известно, что в одномерном случае существует солитонное решение вида $\psi_{1,20} = E \operatorname{ch}^{-2}(x/r_x)$ [7]. В многомерном случае солитонное решение без волновода существует только при аномальной дисперсии ($\beta_2^{(1,2)} < 0$). В случае нормальной дисперсии ($\beta_2^{(1,2)} > 0$) для образования оптической пули необходимо компенсирующее воздействие, например, волновод. Мы рассматриваем случаи, когда волновод имеет параболический профиль и профиль с насыщением.

ЧИСЛЕННОЕ МОДЕЛИРОВАНИЕ

При численном моделировании уравнения (1), (2) были обезразмерены следующим образом:

$$\psi_1 = B_1 A_0, \quad \psi_2 = B_2 A_0, \quad z = \bar{z} L_{nl}, \quad x = \bar{x} R_0, \quad a_{1,2} = \bar{a}_{1,2} R_0, \quad \tau = \bar{\tau} \tau_0, \quad \Delta \bar{k} = \Delta k L_{nl}, \quad \delta = \frac{\bar{\delta} \tau_0}{L_{nl}}, \quad \alpha_{1,2} = \bar{\alpha}_{1,2} \tau_0 L_{nl}^{-1},$$

$q_{1,2} = \bar{q}_{1,2} L_{nl}^{-1}$, где A_0 – пиковая амплитуда основной гармоники. Здесь введены следующие характерные длины: длина дисперсионного расплывания

$$L_{dis} = \frac{2\tau_0^2}{|\beta_2^{(1)}|}, \quad \text{дифракционная длина } L_D = \frac{n_1 \omega}{c} R_0^2, \quad \text{нелинейная длина } L_{nl} = \frac{1}{\gamma_1 A_0}.$$

Безразмерные коэффициенты имеют следующий вид: $D_{aj} = \frac{R_0^2}{a_j^2} \bar{\alpha}_j \operatorname{sign}(\epsilon_j)$,

$$D_{qj} = \frac{R_0^2}{a_j^2} \bar{q}_j \operatorname{sign}(\epsilon_j), \quad \bar{\gamma} = \frac{\bar{\gamma}_2}{\gamma_1}, \quad D_{\tau 1} = \operatorname{sign}(\beta_2^{(1)}) \frac{L_{nl}}{L_{dis}},$$

$$D_{\tau 2} = \operatorname{sign}(\beta_2^{(2)}) \left| \frac{\beta_2^{(2)}}{\beta_2^{(1)}} \right| \frac{L_{nl}}{L_{dis}}, \quad D_{x1} = \frac{L_{nl}}{L_D}, \quad D_{x2} = \frac{n_1}{n_2} \frac{L_{nl}}{L_D}.$$

В итоге мы приходим к следующей безразмерной системе уравнений:

$$i \left[\frac{\partial B_1}{\partial \bar{z}} + \left(D_{a1} \frac{\bar{x}^2}{1 + \bar{x}^2/\bar{a}_1^2} + \bar{\delta} \right) \frac{\partial B_1}{\partial \bar{\tau}} \right] + D_{\tau 1} \frac{\partial^2 B_1}{\partial \bar{\tau}^2} - B_1^* B_2 \exp(i\Delta \bar{k} \bar{z}) = D_{q1} \frac{\bar{x}^2}{1 + \bar{x}^2/\bar{a}_1^2} B_1 + \frac{1}{2} D_{x1} \frac{\partial^2 B_1}{\partial \bar{x}^2}, \quad (3)$$

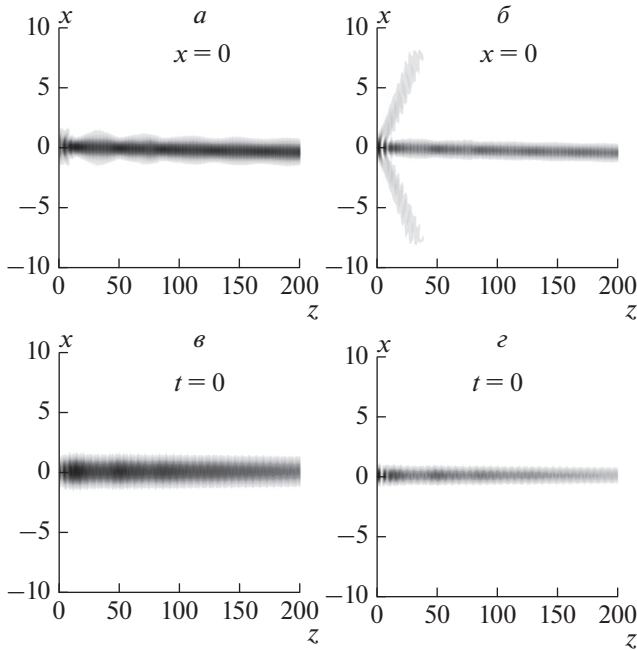


Рис. 1. Распределение интенсивности на центральных сечениях tz (а, б), xz (в, г) пучков первой (а, в) и второй (б, г) гармоник в случае параболического волновода ($a_{1,2} \rightarrow \infty$).

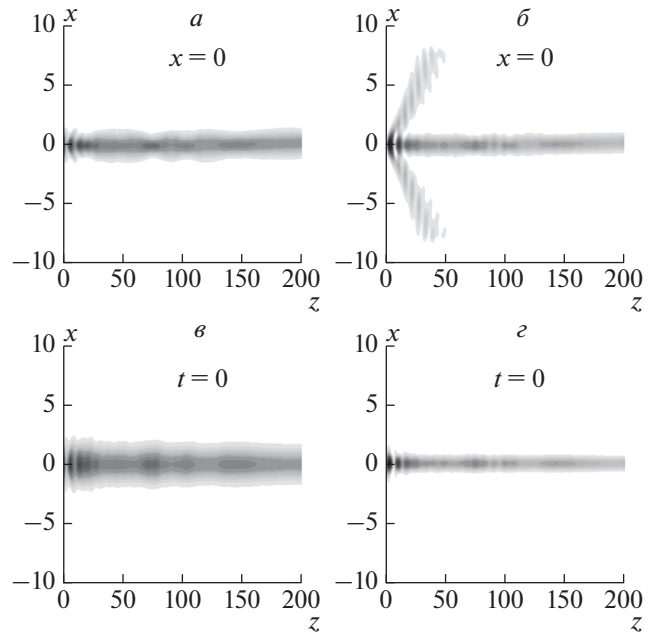


Рис. 2. Распределение интенсивности на центральных сечениях tz (а, б), xz (в, г) пучков первой (а, в) и второй (б, г) гармоник в при волноводе с радиусом насыщения $a_{1,2} = 1$.

$$i \left[\frac{\partial B_2}{\partial \bar{z}} + \left(D_{a2} \frac{\bar{x}^2}{1 + \bar{x}^2/a_2^2} - \bar{\delta} \right) \frac{\partial B_2}{\partial \bar{\tau}} \right] + D_{\tau 2} \frac{\partial^2 B_2}{\partial \bar{\tau}^2} - \bar{\gamma} B_1^2 \exp(-i\Delta k \bar{z}) = D_{q2} \frac{\bar{x}^2}{1 + \bar{x}^2/a_2^2} B_2 + \frac{1}{4} D_{x2} \frac{\partial^2 B_2}{\partial \bar{x}^2}. \quad (4)$$

Далее мы опускаем черту над обозначениями переменных.

Рассмотрен процесс генерации пули мощным пучком основной частоты. В качестве начального условия в соответствии с [8] использовалось:

$$\Psi_{10} = E_1 \operatorname{ch}^{-2}(x/r_x) \operatorname{ch}^{-2}(\tau/r_\tau), \quad \Psi_{20} = 0. \quad (5)$$

Прежде всего была найдена пульсирующая оптическая пуля в параболическом волноводе. В наших уравнениях этому соответствует случай $a_{1,2} \rightarrow \infty$. На рис. 1 приведено распределение амплитуд первой и второй гармоник в центральных сечениях xz и tz . Использовались следующие безразмерные параметры: $D_{\tau 1} = 0.025$, $D_{\tau 2} = 0.05$ (случай нормальной дисперсии), $D_{q1} = -1$, $D_{q2} = -2$ (фокусирующий волновод), $D_{x1} = 0.3$, $D_{x2} = 0.3$, $\alpha_1 = \alpha_2 = -0.01$. Видно, что возникшая в начале вторая гармоника распадается на части по времени, при этом основная часть остается в центре, и еще две части отстают или опережают центр. Затем оставшаяся в центре часть при взаимодействии с основной частотой образует опти-

ческую пулю, которая распространяется в пульсирующем режиме.

Затем при тех же условиях параболический волновод был заменен на волновод с насыщением. На рис. 2 приведены распределения амплитуд первой и второй гармоник в центральных сечениях xz и tz . Параметр насыщения волновода был $a_{1,2} = 1$, т.е. равен начальной ширине пучка. Однако из рис. 1 видно, что возникающая пуля имеет несколько меньший размер, чем входной пучок. Соответственно, для большей части пули профиль волновода близок к параболическому. При этом, в отличие от случая параболического волновода, возникает оптическая пуля без пульсации.

На рис. 3 приведены распределения амплитуд первой и второй гармоник в центральных сечениях xz и tz в случае меньших параметров насыщения волновода $a_{1,2} = 0.75$. Видно, что большая часть энергии входного пучка рассеивается, говорить об оптической пуле уже нельзя. С уменьшением параметров волновода $a_{1,2}$ распад пучка происходит на меньших продольных расстояниях z . Часть энергии с хвостов уходит на периферию, из-за чего падает интенсивность в центре пучка и оптическая пуля не возникает. Это показывает, что для получения реальных оптических пуль, ширина которых сопоставима с шириной волновода, необходимо увеличивать нелинейность или, что то же самое, увеличивать интенсивность падающей

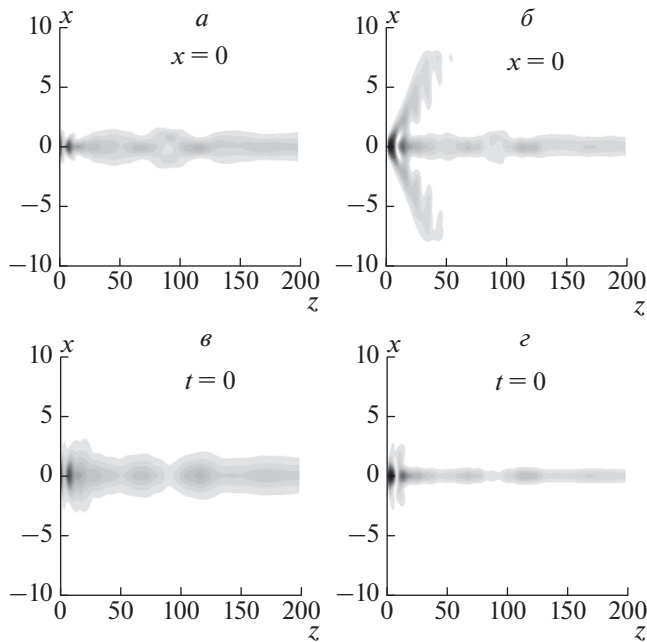


Рис. 3. Распределение интенсивности на центральных сечениях tz ($a, б$), xz ($в, з$) пучков первой ($a, в$) и второй ($б, з$) гармоник в при волноводе с радиусом насыщения $a_{1,2} = 0.75$.

волны. Данный результат достаточно прозрачен с физической точки зрения. Действительно, если $x > a_{1,2}$, среда становится практически однородной. В этом случае при положительной групповой дисперсии образование пульс невозможно [5]. Таким образом, насыщение поперечного фокусирующего профиля показателя преломления препятствует формированию световых пульс при генера-

ции второй гармоники в области положительной групповой дисперсии.

ЗАКЛЮЧЕНИЕ

В работе рассмотрено формирование оптических пульс в волноводах с параболическим профилем и профилем с насыщением при положительной дисперсии. Показано, что в параболическом волноводе возможно формирование таких пульс. В волноводе с насыщающим профилем пули формируются в случае, когда параметр насыщения больше ширины пули, в противном случае начальный пучок рассеивается.

Исследование выполнено за счет гранта Российского Научного Фонда (проект № 17-11-01157).

СПИСОК ЛИТЕРАТУРЫ

1. Карамзин Ю.Н., Сухоруков А.П. // Письма в ЖЭТФ. 1974. Т. 20. С. 730.
2. Kivshar Y.S., Agrawal G. // Optical Solution from Fiber to Photonic Crystals. New York: Academic press, 2003. 540 p.
3. Malomed B.A., Drummond P., He H. et al. // Phys. Rev. 1997. E 56. P. 4725.
4. Skryabin D.V., Firth W.J. // Opt. Commun. 1998. V. 148. P. 79.
5. Sazonov S.V., Mamaikin M.S., Komissarova M.V., Zakharova I.G. // Phys. Rev. 2017. E 96. P. 022208.
6. Sazonov S.V., Mamaikin M.S., Zakharova I.G., Komissarova M.V. // Phys. of Wave Phenom. 2017. V. 25. P. 83.
7. Кившарь Ю.С., Агравал Г.П. Оптические солитоны. М.: Физматлит, 2005. 648 с.
8. Sazonov S., Kalinovich A., Zakharova I. et al. // EPJ Web of Conf. 2017. V. 161. P. 02009.